

بررسی اندرگنüş سیستم نگهداری تونل‌ها با محیط اطراف تحت بارگذاری لرزه‌ای

 روح الله بصیرت^۱، حسین سالاری راد^{۲*}، حامد ملاداوودی^۳

۱ دانش آموخته کارشناسی ارشد مهندسی مکانیک سنگ، دانشکده‌ی مهندسی معدن و متالورژی، دانشگاه صنعتی امیرکبیر

۲ استادیار، دانشکده‌ی مهندسی معدن و متالورژی، دانشگاه صنعتی امیرکبیر

۳ استادیار، دانشکده‌ی مهندسی معدن و متالورژی، دانشگاه صنعتی امیرکبیر

دریافت دستنوشته: ۱۳۹۳/۰۲/۲۴؛ پذیرش دستنوشته: ۱۳۹۴/۰۲/۱۱

وازگان گلیدی	چکیده
اندکنüş سیستم نگهداری بارگذاری لرزه‌ای	امروزه با پیشرفت فن آوری، امکان طراحی و ساخت دقیق تر سازه‌های زیرزمینی فراهم شده است. با این وجود، آنالیز سازه‌های زیرزمینی به دلیل اندرکنüş با محیط نامحدود خاکی یا سنگی اطراف، بسیار پیچیده بوده و تسبیت به دیگر سازه‌ها تحقیقات کتری بر روی آن‌ها صورت گرفته است. در کشور ارزوی همچون ایران برای پیشگیری از پیامدهای ناگوار در اثر زلزله بایستی بررسی و مطالعات جدی‌تری بر روی رفتار دینامیکی این قبیل سازه‌ها انجام داد. در این مقاله ابتدا دو روش تحلیلی برای بررسی رفتار فضای زیرزمینی تحت بار لرزه‌ای ارائه شده است. سپس پاسخ پوشش یکپارچه تحت شرایط لغزش کامل و بدون لغزش با استفاده از روش‌های تحلیلی و عددی با در نظر گرفتن اندرکنüş پوشش و محیط اطراف بررسی شده است. نتایج نشان دادند که تنش‌ها در پوشش یکپارچه در شرایط بدون لغزش تا ۲/۷ برابر بیشتر از شرایط لغزش کامل است. همچنین مقدار کرنش‌های پوشش یکپارچه در حالت لغزش کامل بیشتر است. نتایج روش عددی نزد طبقت خوبی با روش‌های تحلیلی داشتند.
لغزش کامل و بدون لغزش توط	
بارگذاری زلزله	

۱- مقدمه

صورت الاستیک و همگن فرض شده است.
پاسخ سیستم نگهداری تونل در برابر بارهای لرزه‌ای،
تابعی از نسبت انعطاف‌پذیری، نسبت قابلیت فشاردهشدن سازه،
فشار بر جای روباه (βh) و متغیرهای دیگر می‌باشد. نسبت
انعطاف‌پذیری (F) و نسبت قابلیت فشاردهشدن (C) که از
کمیت‌های موثر در روابط هستند، به صورت زیر تعریف می‌
شوند:

$$C = \frac{E_s (1 - \nu_s^2)}{E_t t (1 + \nu_s) (1 - 2\nu_s)} \quad (1)$$

$$F = \frac{E_s (1 - \nu_s^2) r^3}{6 E_t I (1 + \nu_s)} \quad (2)$$

در روابط بالا، E_s مدول الاستیسیته پوشش، ν_s نسبت

فضاهای زیرزمینی مخصوصاً تونل‌ها نقش اساسی در
پیشرفت مناطق شهری دارند. گروه انجمن یمن الملکی
تونل اولین تیم تحقیقاتی بود که به بررسی طراحی‌های
موجود و روش‌های تحلیلی برای سازه‌های زیرزمینی
پرداخت. به عبارت دیگر مطالعات اخیر بر روی آسیب‌
پذیری تونل‌ها با زلزله‌های میدان تزدیک و آسیب لرزه-
ای در سازه‌های زیرزمینی تمرکز یافت (Hashash, 2001).
تاکنون روش‌های تحلیلی مختلفی برای تحلیل
دینامیکی پوشش یکپارچه ارائه شده است که از آن
جمله می‌توان به روش ونگ (Wang, 1993)، پنزین
(Penzien, 2000)، بوبت و همکاران (Bobet et al., 2003)
و پارک و همکاران (Park et al., 2009) اشاره
کرد. در این روش‌ها محیط اطراف و پوشش تونل به

* تهران، خیابان حافظ، دانشگاه صنعتی امیرکبیر، دانشکده‌ی مهندسی معدن و متالورژی، طبقه‌ی پنجم، اتاق ۶، کدپستی: ۱۵۹۱۶۴۴۲۱۱؛ شماره‌ی تلفن:

۰۰۰۲۱-۶۴۵۲۹۶۴. آدرس پست الکترونیک: h.salaris@ant.ac.ir.

۲- روش‌های تحلیلی برای تحلیل دینامیکی پوشش تونل‌ها

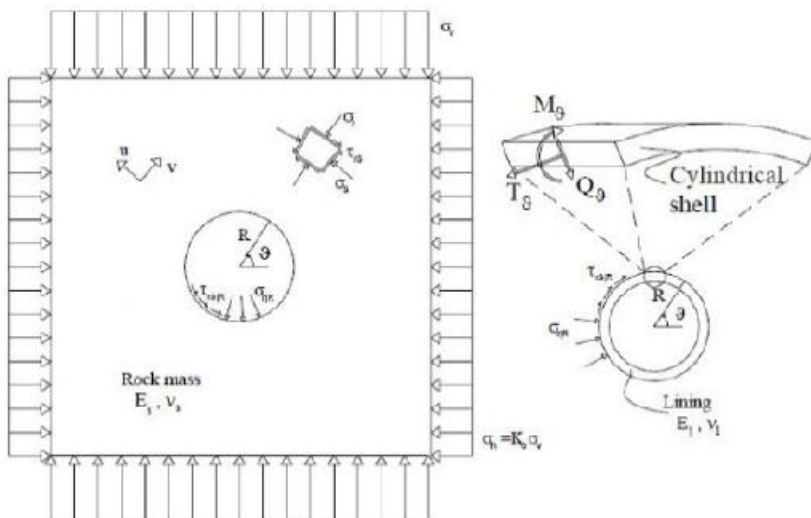
روش‌های تحلیلی برای تحلیل دینامیکی پوشش تونل‌ها در ادامه تشریح شده است.

۱-۱- روش ونگ

روش تحلیلی ونگ (Wang, 1993) بر اساس حل روابط ابری برای پوشش دایروی در شرایط استاتیکی به دست می‌آید. سپس با جایگزین کردن بار زلزله به صورت تنش پرشی خالص (γ_{max}), روابط مربوط به تغییر شکل، نیروی محوری و ممان خمشی در پوشش بدست می‌آیند. شکل ۱ نیروها را در پوشش تونل نشان می‌دهد. روابط برای دو حالت لغزش کامل و بدون لغزش نوشته شده است.

پواسون پوشش، E_s مدول الاستیسیته محیط اطراف، v_s نسبت پواسون محیط اطراف، I ممان اینرسی پوشش تونل (در واحد عرض) و t ضخامت پوشش است. ضریب انعطاف‌پذیری (F) بیانگر تفاوت سختی بین زمین و پوشش بوده و در واقع بیانگر قابلیت اندکنی پوشش با محیط پرآمون می‌باشد. هر چقدر این ضریب بزرگ‌تر باشد، پوشش منعطف‌تر است (Hashash, 2001).

در این مقاله به پژوهی اثر سختی سطح تماس پوشش و محیط اطراف و به عبارت دیگر انعطاف‌پذیری پوشش تونل با محیط اطراف بر تنش‌های ایجاد شده در بارگذاری زلزله یا استفاده از روش‌های تحلیلی و عددی پرداخته شده است.



شکل ۱: نیروی محوری، نیروی برشی و ممان خمشی در پوشش (Corigliano, 2007)

که در آن:

$$K_1 = \frac{12E_s(1-v_s)}{2F+5-6v_s} \quad (5)$$

در روابط مزبور T نیروی محوری در پوشش، M ممان خمشی در پوشش و θ زاویه المان مورد بررسی بر روی پوشش با جهت محورها است.

ب- حالت بدون لغزش

برای این حالت روابط به صورت زیر ارائه شده است:

الف- حالت لغزش کامل

در این حالت پارامترهای طراحی لازم در حالت لغزش پوشش چداره مانند بیشترین مقدار نیروی محوری (T) و ممان خمشی (M) پوشش چداره از روابط زیر محاسبه می‌شوند (Wang, 1993):

$$T = \frac{1}{6} K_1 \frac{E_s}{(1+v_s)} r \gamma_{max} \cos 2\left(\theta + \frac{\pi}{4}\right) \quad (3)$$

$$M = \frac{1}{6} K_1 \frac{E_s}{(1+v_s)} r^2 \gamma_{max} \cos 2\left(\theta + \frac{\pi}{4}\right) \quad (4)$$

جایگالی پوشش تونل را محاسبه کردند. بر طبق این روش در شرایط بدون لغزش داریم:

$$\frac{T}{G\gamma_{\max}r} = -\frac{4(1-\nu_s)}{\Delta'} \left[F \left(\frac{1}{2} - \nu_s \right) C \cos^2 \left(\theta + \frac{\pi}{4} \right) \right] \quad (9)$$

$$\frac{M}{G\gamma_{\max}r^2} = -\frac{4(1-\nu_s)}{\Delta'} \left[1 + \left(\frac{1}{2} - \nu_s \right) C \right] \cos^2 \left(\theta + \frac{\pi}{4} \right) \quad (10)$$

که در آن:

$$\Delta' = F[(3-2\nu_s)(1-2\nu_s)]C - 5F^2/8 + \frac{1}{2}B^2 \quad (11)$$

و در شرایط لغزش کامل خواهیم داشت:

$$\frac{T}{G\gamma_{\max}r} = -\frac{4(1-\nu_s)}{(2F+5-6\nu_s)} \cos^2 \left(\theta + \frac{\pi}{4} \right) \quad (12)$$

$$\frac{M}{G\gamma_{\max}r^2} = -\frac{4(1-\nu_s)}{(2F+5-6\nu_s)} \cos^2 \left(\theta + \frac{\pi}{4} \right) \quad (13)$$

و در نهایت تنفس در پوشش تونل برابر است با:

$$\sigma = \frac{T}{A_s} + \frac{Mt}{2I_s} \quad (14)$$

۳- معرفی تونل مورد مطالعه و مشخصات مقطع

مورد بررسی

تونل انتقال آب از سد امیر کبیر به تصویه خانه شماره ۶ تهران به منظور تامین آب شرب تهران از سد امیر کبیر طراحی و اجرا شده است. شعاع این تونل ۱۹۵ متر و ضخامت پوشش پتنی مورد استفاده در این تونل برابر ۲۵ سانتیمتر است (Sahel, 2009a).

بیشتر واحدهای سنگی مسیر تونل دارای منشاً آذرآواری هستند. یخشی بزرگی از مسیر از سنگ‌های آذرین که شامل مواد دیبوریت، موذوگابرو، میکروگابرو و پرش لاولی آندزیتی می‌شوند، تشکیل یافته است (Sahel, 2009b). مقطع مورد نظر در ۲۶۰۰ انتخاب شده است. ارتفاع روباره در این مقطع برابر ۴۰ متر می‌باشد. مشخصات فیزیکی و مکانیک سنگی این مقطع در جدول زیر آورده شده است. پارامترهای پوشش تونل در جدول ۲ آورده شده است. همچنین مقدار نسبت تنفس افقی به قائم برابر ۱ در نظر گرفته شده است.

$$T = K_1 \tau_{\max} r = K_1 \frac{E_s}{2(1+\nu_s)} r \gamma_{\max} \cos 2 \left(\theta + \frac{\pi}{4} \right) \quad (9)$$

$$M = \frac{1}{6} K_1 \frac{E_s}{(1+\nu_s)} r^3 \gamma_{\max} \cos 2 \left(\theta + \frac{\pi}{4} \right) \quad (10)$$

که در آن:

$$K_1 = 1 + \frac{F[(1-2\nu_s)(1-2\nu_s)] - \frac{1}{2}(2\nu_s + \frac{3}{2})}{F[(3-2\nu_s)(1-2\nu_s)] + \frac{5}{2}(2\nu_s + \frac{3}{2}) - 8\nu_s} \quad (11)$$

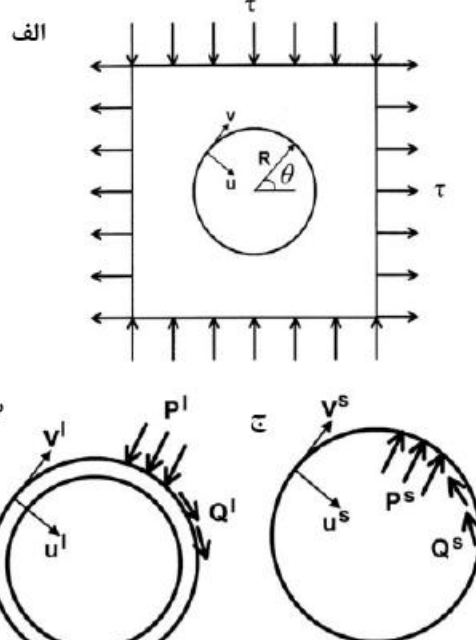
۲-۲- راه حل پارک

پارک و همکاران برای راحتی تحلیل، شرایط پارگذاری را مطابق شکل ۲ به سه مورد تدقیک کردند (Park et al, 2009)

(الف) یک حفره استوانه‌ای مدور با پارگذاری خارجی (شکل ۲-الف)

(ب) یک پوشش-حاشاک (شکل ۲-ب)

(ج) یک حفره استوانه‌ای مدور با تماس تنفس‌ها در سطح میانی پوشش-حاشاک (شکل ۲-ج).



شکل ۲: شرایط پارگذاری در روش پارک (Park et al, 2009)

سپس با استفاده از اصل جمع آثار و یا تعادل نیروهای اندرکنش و سازگاری جایگالی‌ها در قصل مشترک، نیروها و

۴- تحلیل استاتیکی

بدون شک انجام تحلیل دینامیکی سازه‌های زیرزمینی مانند تونل‌ها در گذر از انجام تحلیل استاتیکی میسر می‌گردد. این به آن معنا است که پایان مرحله بارگذاری استاتیکی، نقطه شروع بارگذاری دینامیکی خواهد بود. در واقع نتایج تحلیل دینامیکی زمانی قابل استفاده خواهد بود که مدل استاتیکی آن قادر به شبیه سازی صحیح شرایط و به تعادل رسیده باشد.

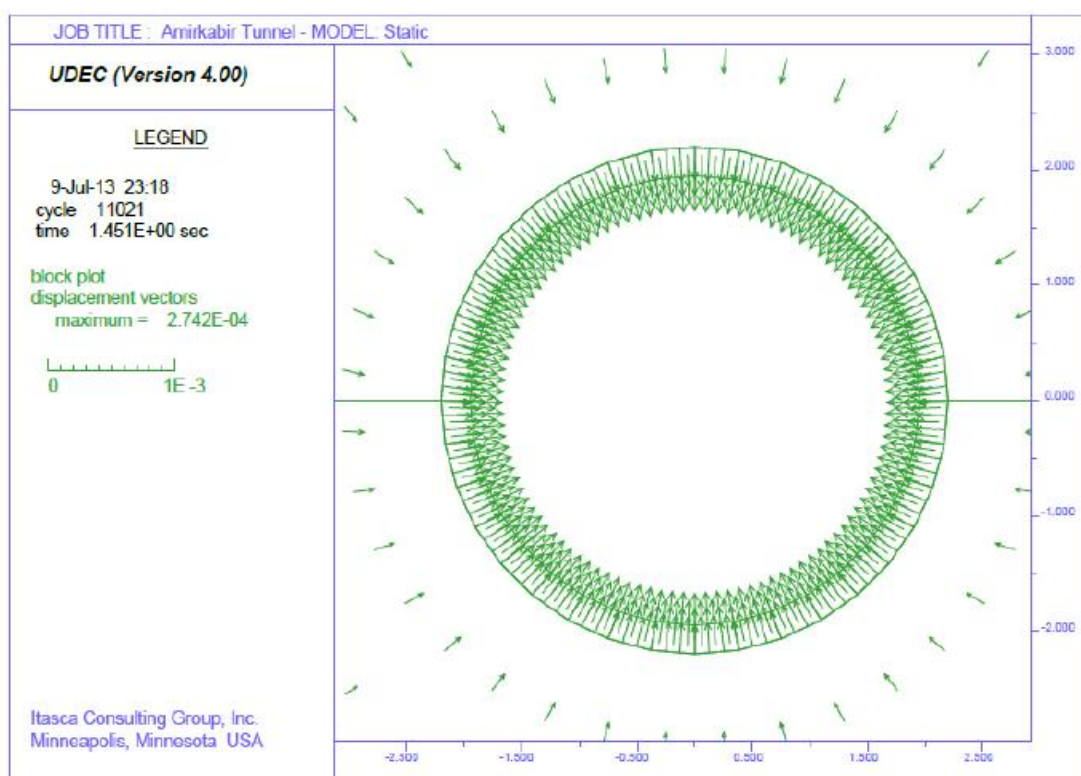
شکل ۳ وضعیت جابجایی‌ها و شکل ۴ وضعیت تنش را در پوشش یکپارچه نشان می‌دهد. همان طور که مشاهده می‌شود، تنش به صورت یکنواخت در پوشش ایجاد شده است که مقدار حداقل آن برابر ۵,۲۳ مگاپاسکال است. مقدار جابجایی حداقل بعد از اعمال سیستم نگهداری ۰,۲۷ میلیمتر است.

جدول ۱: خواص مقاومتی توده سنگ برای مقطع مورد نظر بر اساس مطالعات مشاور طرح (Sahel, 2009b)

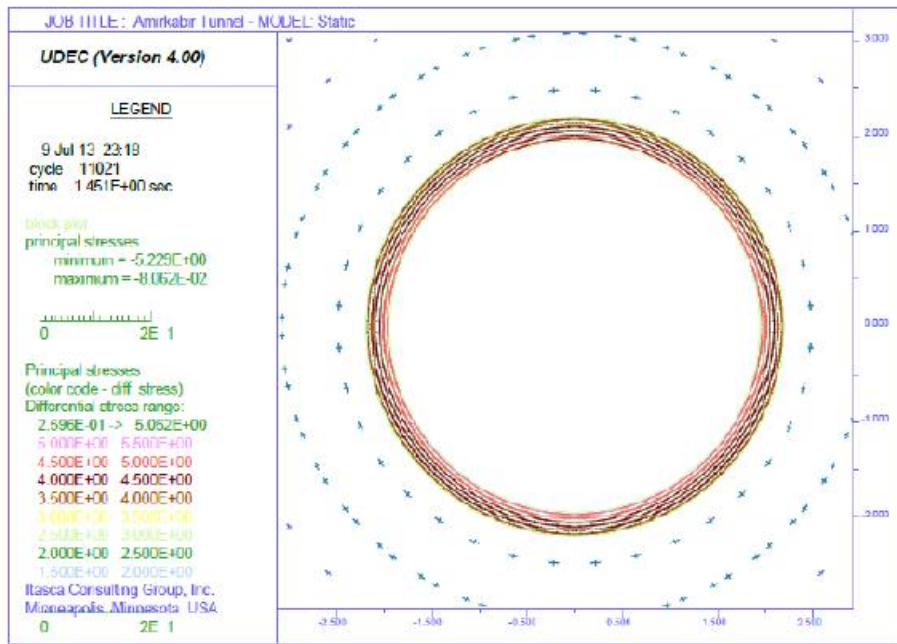
پارامتر	واحد	مقدار
دانسیته (γ)	Kg/m^3	۲۷۰۰
مدول الاستیسیته (E_s)	GPa	۶
ضریب پراسن (v_s)	-	۰,۲۵
چسبندگی (C)	MPa	۱,۳۵
زاویه اصطکاک داخلی (ϕ)	درجه	۴۹,۶

جدول ۲: پارامترهای پوشش تونل

پارامتر	واحد	مقدار
مدول الاستیسیته (E_l)	GPa	۲۰,۲
ضریب پراسن (v_l)	-	۰,۲
ضخامت (t)	cm	۲۵

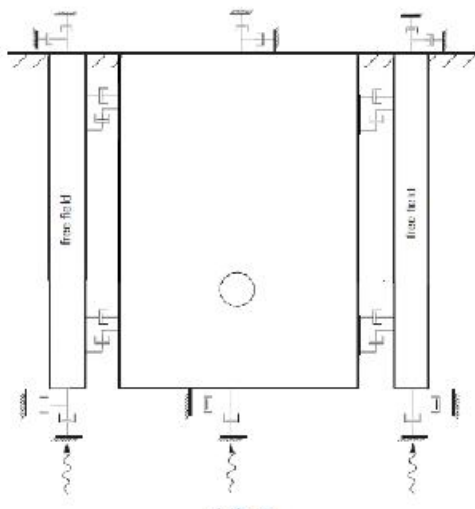


شکل ۳: وضعیت جابجایی در حالت استاتیکی



شکل ۴: وضعیت تنش در پوشش تونل در حالت استاتیکی

آید تا آماده مدل سازی دینامیکی شود. این تغییرات شامل اعمال شرایط مرزی جدید، اعمال بارگذاری دینامیکی و تبدیل میرلی سیستم استاتیکی به میرلی رالی است. با توجه به موارد ذکر شده، شرایط مرزی جدید به مدل اعمال شد که در شکل ۵ مشاهده می‌شود.



شکل ۵: شرایط مرزی و بارگذاری لرزه‌ای مدل ایجاد شده در نرم افزار UDEC

۵- بارگذاری لرزه‌ای

۵-۱- تدوین تاریخچه زلزله طراحی

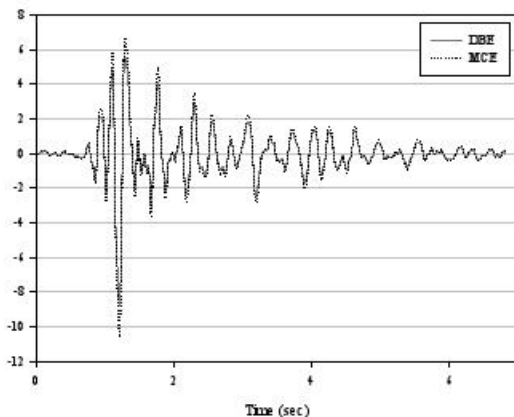
با استی اذعان داشت که هر زلزله حرکات منحصر به فردی را وجود می‌آورد که مشخصات آن باستی به عوامل متعددی از جمله مکانیزم گسیختگی در منبع زلزله، محیط انتشار امواج و ویژگی‌های زمین شناسی ساختگاه است. پنایرلن لازم است تا پس از مشخص شدن توان لرزه‌خیزی ساختگاه در طی تحلیل خطر زلزله، تاریخچه زمانی آن به عنوانی تدوین گردد که بیشترین انتطبقان را با شرایط لرزه‌زمین ساخت منطقه داشته باشد (Kramer, 1996).

در این مقاله از رکوردهای زلزله پلده که در فاصله‌ای نزدیک به تونل مورد مطالعه بوده، استفاده شده است. این زلزله در سال ۱۳۸۳ در حد فاصل پلده و مرزن آباد به وقوع پیوسته است. موسسه وثوقیزیک دانشگاه تهران مختصات و مرکز آن را در ۵۱/۵۷ درجه طول شرقی و ۳۶/۲۸ درجه عرض شمالی و بزرگای آن را $M_{\text{w}}=5/5$ گزارش و در فاصله ۶۹ کیلومتری شمال تهران و ۱۴۰ کیلومتری جنوب غربی ساری گزارش نموده است (شبکه شتابنگاری زلزله ایران).

۵-۲- مدل دینامیکی اجزای مجزا

پس از تحلیل استاتیک لازم است تا تغییراتی در مدل به وجود

ج) حالت واقعی: این حالت با در نظر گرفتن خواص سطح تماس ما بین حالت لغزش کامل و بدون لغزش مدل-سازی شده است.



شکل ۶: تاریخچه زمانی اصلاح شده سرعت برای بارگذاری‌های لرزه‌ای DBE و MCE

۳-۵-بارگذاری لرزه‌ای

در زمان وقوع زلزله امواج حجمی از منبع به تمام جهات منتشر می‌شود. هنگامی که این امواج به مرز لایه‌ها و تاپیوستگی‌ها می‌رسند، دچار انعکاس و انكسار می‌شوند. با توجه به این که سرعت عبور امواج در لایه‌های تزدیک به سطح معمولاً کمتر از لایه‌های زیرین است، انكسار رخ می‌دهد. این پدیده سبب می‌گردد که جهت انتشار امواج زلزله در لایه‌های افقی سطحی به صورت عمودی پاشد (Kramer, 1996). بر اساس این واقعیت بارگذاری لرزه‌ای به صورت یک موج صفحه‌ای پوشی در نظر گرفته شده که از پای مدل در جهت قائم منتشر می‌شود (شکل ۵).

وجود مرزهای ویسکوز در پای مدل سبب می‌گردد که اعمال تاریخچه سرعت به طور مستقیم امکان پذیر نباشد. از این رو لازم است تا تاریخچه سرعت به تاریخچه تنش تبدیل گردد. با فرض موج صفحه‌ای این تبدیل به صورت زیر انجام می‌شود (Itasca, 2004):

$$\sigma_{xy} = -2 \cdot \rho C_s V \quad (15)$$

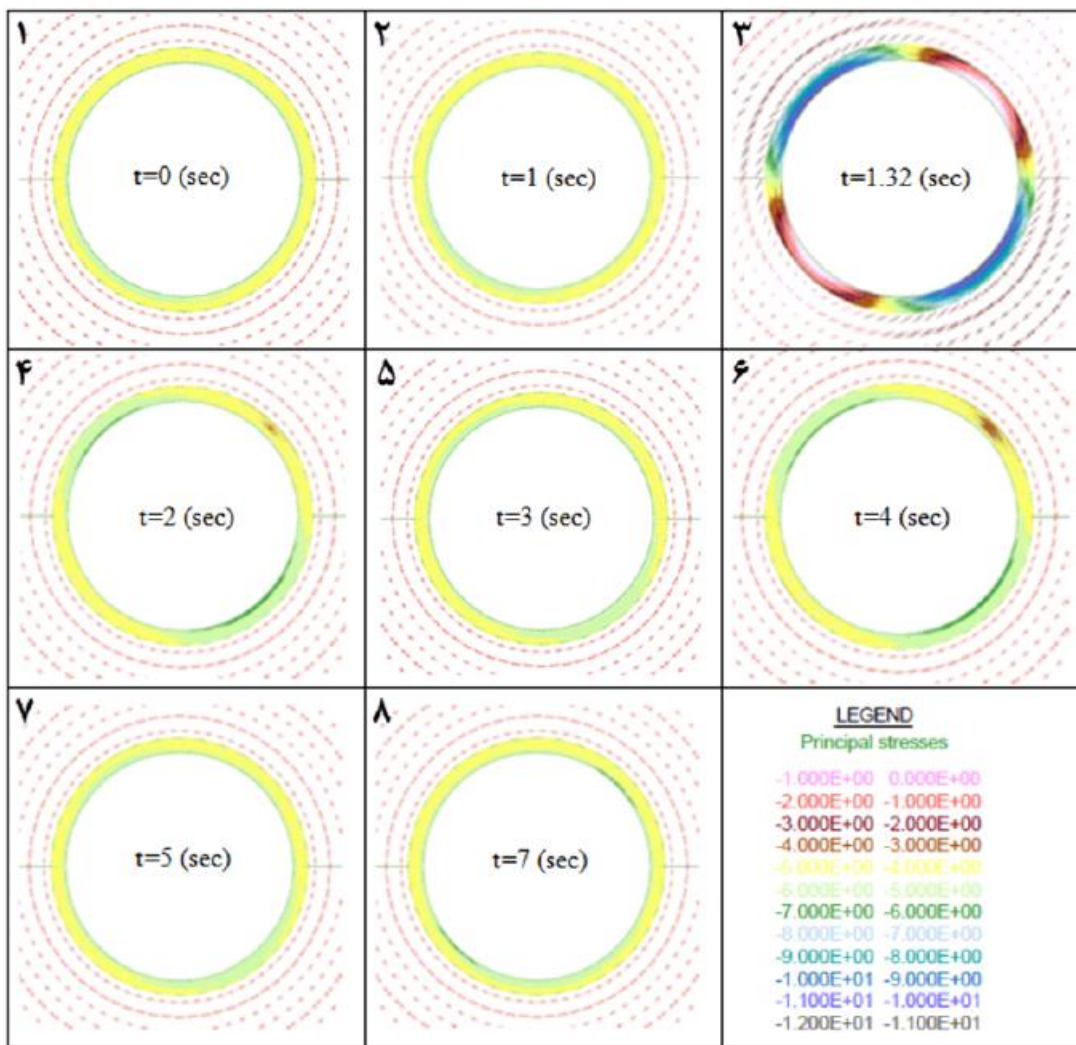
ضریب ۲ به این دلیل است که نیمی از ورودی تنش در محل مرزهای ویسکوز جذب شده و تنها نیمی از آن مقدار واقعی بار دینامیکی است که به مدل اعمال می‌شود.

تاریخچه‌های اصلاح شده سرعت برای زلزله‌های مبنای طرح (DBE) و زلزله معتبر بیشینه (MCE) مطابق شکل ۶ به دست می‌آید. سطح خطر در زلزله مبنای طرح بر اساس ۷/۱۰ احتمال رویداد در ۵۰ سال که معادل دوره یازگشت ۴۷۵ سال است، تعیین می‌شود و سطح خطر در زلزله معتبر بیشینه بر اساس ۲/۷ احتمال رویداد در ۵۰ سال که معادل دوره یازگشت ۲۴۷۵ سال است، تعیین می‌شود. بیشینه شتاب افقی برای بارگذاری لرزه‌ای DBE پر ابر ۳۵g و برای بارگذاری لرزه‌ای MCE پر ابر ۴۲g است.

۴-۵-تحلیل دینامیکی پوشش یکپارچه

در این قسمت، تاثیر سطح تماس بین پوشش و محیط اطراف بررسی شده است. سطح تماس بین پوشش و محیط به سه صورت زیر مدل‌سازی شده است:

- (الف) حالت بدون لغزش: با در نظر گرفتن خواص خیلی بالا (چسبندگی و زاویه اصطکاک زیاد) برای سطح تماس
- (ب) حالت لغزش کامل: با در نظر گرفتن خواص خیلی پایین (چسبندگی و زاویه اصطکاک کم) برای سطح تماس

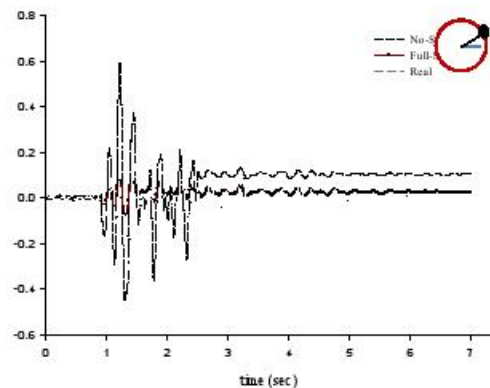


شکل ۷: تغییرات تنش در پوشش یکباره تحت بارگذاری لرزه‌ای DBE در حالت واقعی در طول بارگذاری

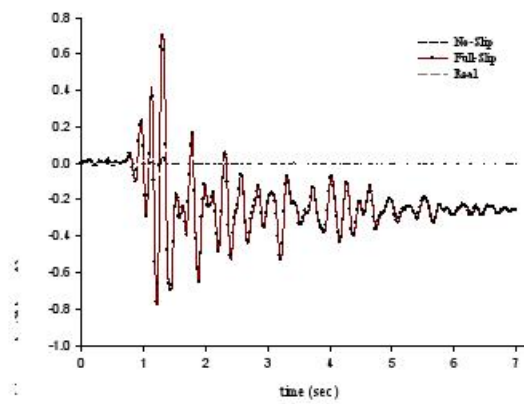
این حالت ما بین این دو حالت است. همچنین با توجه به شکل ۸ تنش باقیمانده در انتهای بارگذاری لرزه‌ای، در حالت بدون لغزش از دو حالت دیگر بیشتر می‌باشد. بیشته تنش ترمال در سطح تماس در سه حالت لغزش کامل، واقعی و بدون لغزش به ترتیب پراپر با ۷۸، ۶۵۲ و ۲۶۰ کیلوپاسکال می‌باشد. از آن جاییکه خواص سطح تماس پوشش و محیط اطراف در حالت بدون لغزش بیشتر از دو حالت دیگر است، بنابراین انعطاف پذیری سیستم نگهداری با محیط اطراف کمتر و سختی آن بیشتر از حالات دیگر است. لذا تنش ایجاد شده در حالت بدون لغزش در سطح تماس و در نهایت در پوشش تولل بیشتر از حالات دیگر خواهد بود.

با ثبت تاریخچه زمانی می‌توان از چگونگی تغییرات تنش‌های ترمال و پرشی در سطح تماس بین پوشش و محیط اطراف در سه حالت بیان شده اطلاعات بهتری کسب کرد. شکل ۸ تاریخچه تغییرات تنش ترمال در روی سطح تماس بین پوشش و محیط اطراف در سه حالت مختلف بارگذاری لرزه‌ای DBE نشان می‌دهد. در همه نمودارها مقادیر استاتیکی اولیه از آن‌ها کاسته شده است و مقادیر و تاریخچه‌ها مریوط به بارگذاری لرزه‌ای است. همانطوری که از این شکل پیداست، تنش ترمال ایجاد شده در حالت بدون لغزش بیشتر از حالت لغزش کامل است. همچنین حالت واقعی نیز ما بین دو حالت دیگر قرار گرفته است، چرا که خواص سطح تماس در

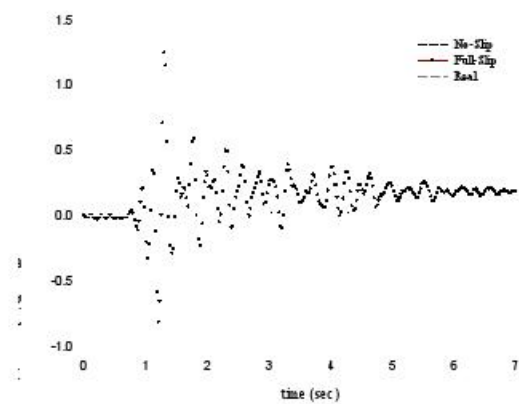
برشی بر روی سطح تماس را نشان می‌دهد. همان طوری که از اشکال پیداست، جایگایی نرمال و برشی در سطح تماس در حالت لغزش کامل بیشتر از حالت بدون لغزش است و حالت واقعی نیز مابین این دو حالت قرار گرفته است. به عبارت دیگر با افزایش خواص سطح تماس بین پوشش و محیط اطراف، تنش‌های ناشی از پارگذاری لرزه‌ای افزایش و در نهایت جایگایی‌ها کاهش یافته است. همچنان مقدار بیشینه جایگایی‌ها نیز در بازه زمانی ۱/۲ تا ۱/۵ ثانیه و مطابق با بازه زمانی اوج پارگذاری اتفاق افتاده است.



شکل ۸: تاریخچه تنش نرمال در سطح تماس بین پوشش و محیط اطراف در سه حالت بدون لغزش، واقعی و لغزش کامل



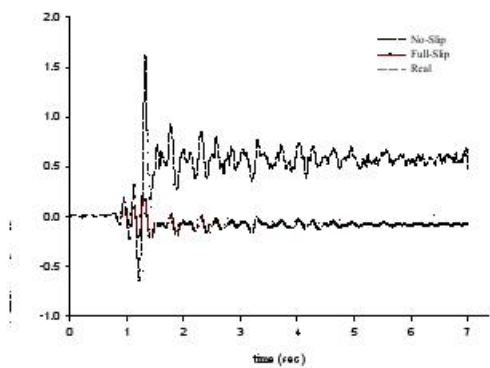
شکل ۹: تاریخچه جایگایی نرمال در سطح تماس بین پوشش و محیط اطراف در سه حالت بدون لغزش، واقعی و لغزش کامل



شکل ۱۰: تاریخچه جایگایی پرشی در سطح تماس بین پوشش و محیط اطراف در سه حالت بدون لغزش، واقعی و لغزش کامل

۵-۳-۴-۳- تغییرشکل پوشش یکپارچه در پاسخ لرزه‌ای مقاطع عرضی تونل‌ها یسته به شکل ۱۱ دو

این موضوع برای تنش پرشی ایجاد شده در سطح تماس نیز صادق است. شکل ۹ تاریخچه تنش پرشی در سطح تماس را در سه حالت ذکر شده نشان می‌دهد. مطابق شکل، تنش پرشی ایجاد شده همانند تنش نرمال برای سه حالت مختلف عمل کرده است. مقدار بیشینه تنش پرشی در این حالت نیز در بازه زمانی ۱/۲ تا ۱/۵ ثانیه اتفاق افتاده است و سهس تغییرات تنش پرشی کاهش یافته و در نهایت به یک مقدار تقریباً ثابتی رسیده است.

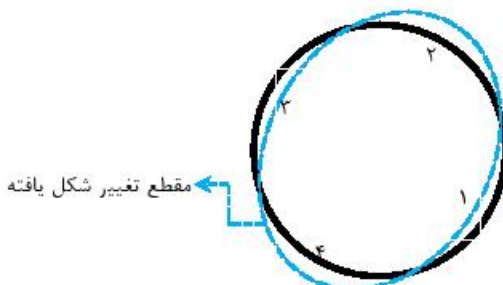


شکل ۱۱: تاریخچه تنش پرشی در سطح تماس بین پوشش و محیط اطراف در سه حالت بدون لغزش، واقعی و لغزش کامل

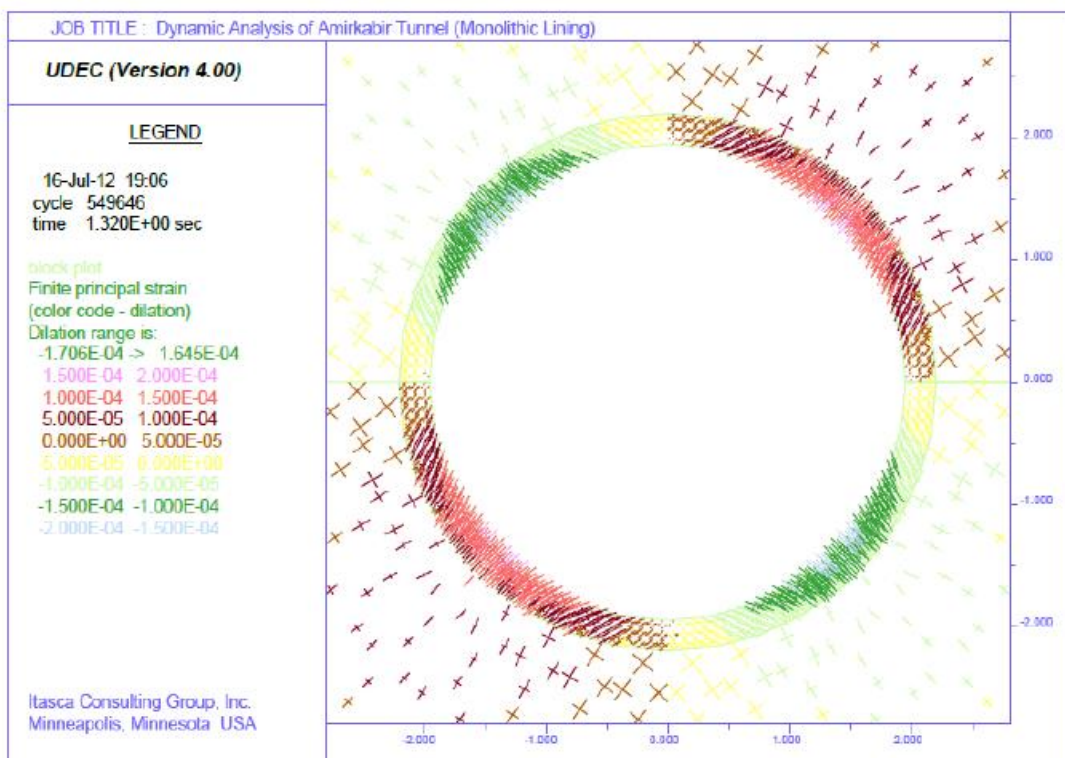
۵-۴-۲- بررسی تغییرات جایگایی
با ثبت تاریخچه جایگایی نرمال و پرشی در سطح تماس پوشش و محیط اطراف برای سه حالت بیان شده، می‌توان اطلاعات بهتری در پاره تغییرات جایگایی بدست آورد. شکل ۱۰ تغییرات جایگایی نرمال و شکل ۱۱ تغییرات جایگایی

با توجه به شکل دایره‌ای تونل مورد بررسی، تغییر شکل بیضوی می‌بایست در آن مشاهده شود. در این حالت نقاط متقابل، رفتارهای متشابهی از خود نشان می‌دهند. به عبارت دیگر اگر نقاط ۱ و ۳ تحت کشش قرار پگیرند، نقاط ۲ و ۴ تحت فشار قرار خواهند گرفت. شکل ۱۳ وضعیت کرنش‌های تاشی از بارگذاری لرزه‌ای در پوشش یکپارچه و در زمان ۱/۳۲ ثانیه را نشان می‌دهد. در این زمان بیشینه کرنش در پوشش ایجاد شده است. بر اساس این شکل می‌توان بیضوی شدن پوشش را توجیه کرد، چرا که در دو ربع اول و سوم کرنش‌ها مثبت (کشش) و در دو ربع دیگر کرنش‌ها منفی (فساری) هستند. به عبارت دیگر در دو قطر متعامد، کرنش‌های ترمال اعمالی از نظر جهت متفاوت هستند، لذا تونل به شکل بیضوی تغییر شکل می‌دهد.

نوع تغییر شکل اتفاق می‌افتد. در تونل‌های مستطیلی شکل کج شدگی و در تونل‌های دایره‌ای شکل، بیضوی شدن اتفاق می‌افتد (شکل ۱۲).



شکل ۱۲: تغییر شکل بیضوی تونل‌های دایره‌ای شکل

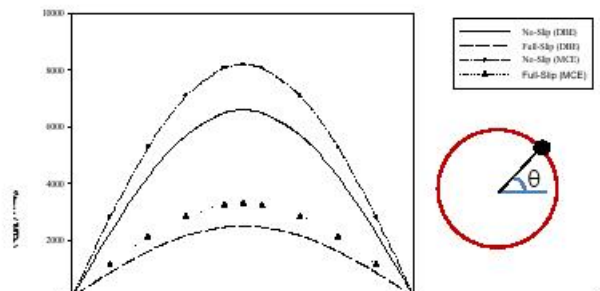


شکل ۱۳: وضعیت کرنش در پوشش یکپارچه تحت بارگذاری لرزه‌ای و در زمان ۱/۳۲ ثانیه

مقایسه شدند. تنش بیشینه محاسبه شده توسط روش‌های مذکور برای دو نوع بارگذاری لرزه‌ای MCE و DBE در جدول ۳ مقایسه شده است. همچنین وضعیت تنش‌ها در ربع اول

۴-۴-۵- مقایسه نتایج روش تحلیلی و عددی برای اعتبارسنجی نتایج مدل‌سازی عددی، این نتایج با روش‌های تحلیلی ونگ (۱۹۹۳) و پارک (۲۰۰۹) مورد اشاره،

با افزایش خواص سطح تماس بین پوشش و محیط اطراف (از حالت لغزش کامل تا بدون لغزش)، مقدار تنفس بیشینه در پوشش افزایش و مقدار کرنش بیشینه کاهش یافته است. همچنین حالت واقعی نیز ما بین این دو حالت قرار گرفته است. به این موضوع نیز محققین مختلفی از جمله (Park et al, 2009) (Corigliano et al, 2005) (Hashash et al, 2005) (MCE, 2011) نیز اشاره شده است. دلیل این افزایش تنفس و کاهش کرنش مرتبط با سختی سیستم نگهداری و درنهایت انعطاف پذیری آن با محیط اطراف است. با افزایش انعطاف پذیری سیستم نگهداری نسبت به محیط اطراف، تنفس ناشی از بارگذاری لرزه‌ای در پوشش کمتر اما کرنش و جابجایی ایجاد شده در آن بیشتر است.



شکل ۱۵: وضعیت تنفس در پوشش یکپارچه تحت بارگذاری لرزه‌ای MCE و DBE

جدول ۴: مقادیر تنفس و گرنش بیشینه ناشی از بارگذاری لرزه‌ای MCE و DBE

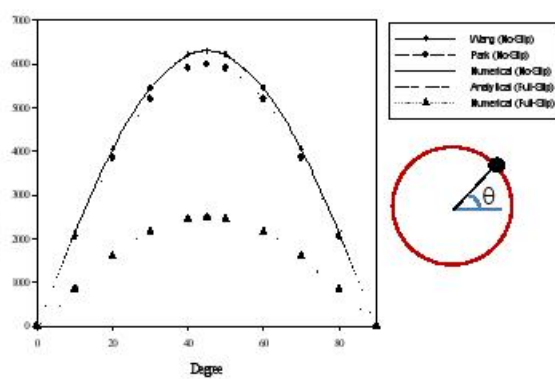
نوع بارگذاری	لغزش کامل	بدون لغزش	واقعی	لغزش کامل
				لغزش
DBE	5,31	6,61		
MCE	6,34	8,31		(MPa)
				گرنش
DBE	2,4	1/57		
MCE	2,51	2,3		(x10 ⁻⁴)

۶- نتیجه‌گیری

در این مقاله به بررسی و مطالعه عددی تاثیر زلزله بر روی پوشش یکپارچه و تاثیر سطح تماس بین پوشش و محیط اطراف در هنگام بارگذاری لرزه‌ای پرداخته شد. بر اساس تحلیل دینامیکی انجام شده، نتایج روش‌های

پوشش یکپارچه در اشکال ۱۴ و ۱۵ نشان داده شده است. از آنجلیکی که نتایج روش‌های تحلیلی برای حالت بدون لغزش یکسان محاسبه شد، تنها یک روش از آن‌ها در اشکال آورده شده است.

مطابق اشکال ۱۴ و ۱۵، نتایج مدل‌سازی عددی مطابقت خوبی با روش‌های تحلیلی نشان می‌دهد. نتایج محاسبات بر اساس روش ونگ (1993) اختلاف کمتری نسبت به روش پارک (2009) با نتایج مدل‌سازی عددی در حالت بدون لغزش دارد (حدود ۴/۵ درصد برای بارگذاری DBE و ۷/۷ درصد برای بارگذاری MCE). این اختلاف ناشی از فرضیات ساده کننده‌ای است که در روش‌های تحلیلی در نظر گرفته شده است. به عبارت دیگر بار ورودی لرزه‌ای به صورت یک موج تنفس پرشی ساده در نظر گرفته شده است، در حالی که در مدل‌سازی عددی از یک شتاب‌نگاشت واقعی استفاده شده است.



شکل ۱۴: وضعیت تنفس در پوشش یکپارچه در دو حالت بدون لغزش و لغزش کامل تحت بارگذاری لرزه‌ای DBE

در شکل ۱۵ وضعیت تنفس در دو حالت بارگذاری لرزه‌ای MCE و DBE با هم مقایسه شده‌اند. مطابق شکل، مقدار تنفس در پوشش یکپارچه در حالت بارگذاری لرزه‌ای بیشتر از DBE است، چرا که شتاب بیشینه و درنتیجه تنفس ورودی به مدل بیشتر است. این شکل نشان می‌دهد که با افزایش شتاب بیشینه زلزله از ۳۵g تا ۴۲g (یعنی ۰,۷g)، تنفس ایجاد شده در پوشش ناشی از بارگذاری لرزه‌ای، به مقدار ۱/۶ مگاپاسکال در حالت بدون لغزش و ۰,۸ مگاپاسکال در حالت لغزش کامل افزایش می‌یابد.

جدول ۴ مقدار تنفس و گرنش بیشینه ناشی از دو نوع بارگذاری لرزه‌ای DBE و MCE را نشان می‌دهد. طبق جدول

لغزش کامل و جابجایی‌های نرمال و برشی کمتر محاسبه می‌شود. این امر به دلیل سختی بیشتر سطح تماس در حالت بدون لغزش و در نتیجه انعطاف پذیری کمتر آن است. تحلیلی ونگ و پارک و روش عددی مطابقت خوبی تحت شرایط لغزش کامل و بدون لغزش در حالت پوشش یکپارچه داشته‌اند. تنش‌های اصلی ناشی از بارگذاری لرزه‌ای تا ۲/۷ برابر در حالت بدون لغزش بیشتر از حالت لغزش کامل در پوشش یکپارچه است. تنش‌های نرمال و برشی در روی سطح تماس بین پوشش و محیط اطراف در شرایط بدون لغزش بیشتر از شرایط بدون لغزش کامل تغییر شکل می‌دهد.

۷- منبع‌ها

- Hashash, Y. M. A., Hook, J., Schmidt, B., Yao, J. (2001). Seismic Design and Analysis of Underground Structures. *Tunnelling and Underground Space Technology*. 16(4): p. 247-293.
- Wang, J.N. (1993). Seismic Design of Tunnels: A State-of-the-Art Approach. New York, Monograph 7: Parsons Brinckerhoff Quade & Douglas, Inc.
- Penzien, J. (2000). Seismically Induced Racking of Tunnel Linings. *Earthquake Engineering and Structural Dynamics*. Vol. 29. p. PP.683-691.
- Bobet, A. (2003). Effect of Pore Water Pressure on Tunnel Support During Static and Seismic Loading. *Tunnelling and Underground Space Technology*. 18(4): p. 377-393.
- Park, K.H., Tantayopin, K., Tontavanich, B., Owatsiriwong, A. (2009). Analytical Solution for Seismic-Induced Ovaling of Circular Tunnel Lining Under No-Slip Interface Conditions: a Revisit. *Tunnelling and Underground Space Technology*. 24(2): p. 231-235.
- Hashash, Y.M.A., Park, D., Yao, J.I.C. (2005). Ovaling Deformations of Circular Tunnels Under Seismic Loading, an Update on Seismic Design and Analysis of Underground Structures. *Tunnelling and Underground Space Technology*. 20(5): p. 435-441.
- Corigliano, M.(2007). Seismic Response of Deep Tunnels in Near-Fault Conditions, in Politecnico di Torino: Italy. p. 222.
- Sahel Consulting Company (2009a), *Earthquake Risk Analysis and Seismotectonics Report of Amirkabir Water Conveyance Tunnel Project*, No. 6, Tehran (Piece K "-BR).
- Sahel Consulting Company (2009b), *Geology Report of Amirkabir Water Conveyance Tunnel Project*, No. 6, Tehran (Piece K "-BR).
- Kramer, S., (1996). Geotechnical Earthquake Engineering. Prentice-Hall, Inc. 653.

Itasca Group Consulting, (2004). UDEC version 4.1 User's manual.

Corigliano, M., Scandella, L., Lai, C.G., Paolucci, R. (2011). Seismic Analysis of Deep Tunnels in Near Fault Conditions: A case Study in Southern Italy. Orginal Research Paper. Bull Earthquake Eng.